Ein und Ausgabe: Farbmetrisches Drucker-Reflektiv-System FRS09_92aM
Daten für jede Farbe: *lab*tch** **und** *lab*icu**
Elementar-Bunttontext: *u* = 16 Bunttöne r00j, r25j, ..., b75r*
Kontrastreduzierungsfaktor: $c_R = 1.0$

FRS09_92aM; adaptierte CIELAB-Daten

	$L^*=L^*_a$	a^*_a	b^*_a	$C^*_{ab,a}$	$h^*_{ab,a}$
r00j	35.47	63.32	30.17	70.15	25
r25j	39.12	54.56	49.45	73.64	42
r50j	50.64	39.15	64.89	75.79	59
r75j	64.01	21.26	82.83	85.52	76
j00g	83.18	−4.37	108.53	108.62	92
j25g	66.73	−29.88	83.06	88.28	110
j50g	54.03	−48.3	63.49	79.78	127
j75g	44.73	−60.32	42.64	73.88	145
g00b	47.59	−49.07	15.74	51.54	162
g25b	49.97	−39.69	−6.71	40.27	190
g50b	51.85	−32.32	−24.34	40.48	217
g75b	46.92	−17.28	−36.01	39.96	244
b00r	37.91	1.28	−42.34	42.37	272
b25r	23.81	30.38	−52.25	60.45	300
b50r	29.52	69.06	−42.13	80.9	329
b75r	36.48	71.47	−3.68	71.57	357

FRS09_92aM; adaptierte CIELAB-Daten

	$L^*=L^*_a$	a^*_a	b^*_a	$C^*_{ab,a}$	$h^*_{ab,a}$
O_{Ma}	35.06	60.0	44.0	74.4	36
Y_{Ma}	83.77	−5.16	109.32	109.44	93
L_{Ma}	44.13	−62.66	48.24	79.09	142
C_{Ma}	52.66	−29.13	−31.98	43.27	228
V_{Ma}	14.15	50.3	−59.03	77.57	310
M_{Ma}	37.37	78.64	−33.49	85.48	337
N_{Ma}	8.58	0.0	0.0	0.0	0
W_{Ma}	92.02	0.0	0.0	0.0	0
R_{CIE}	39.92	58.74	27.99	65.07	25
J_{CIE}	81.26	−2.88	71.56	71.62	92
G_{CIE}	52.23	−42.41	13.6	44.55	162
B_{CIE}	30.57	1.41	−46.46	46.49	272

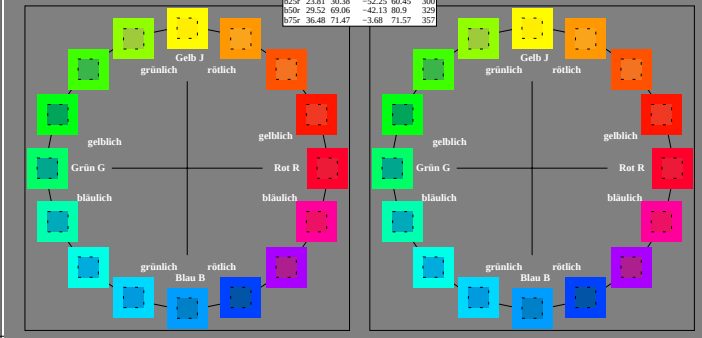

Ein und Ausgabe: Farbmetrisches Drucker-Reflektiv-System FRS09_92aM für relativen CIELAB-Buntton $h^* = lab^*h^* = h_{ab}/360 = 25/360 = 0.071$
Daten für jede Farbe: *lab*tch** **und** *lab*icu**
Elementar-Bunttontext: *u* = r00j*
Kontrastreduzierungsfaktor: $c_R = 1.0$
Daten für Maximalfarbe (Ma):
*LAB*LAB**$_{Ma}$: 35 63 30
*LAB*LCH**$_{Ma}$: 35 70 25
*lab*rgb**$_{Ma}$: 1.0 0.0 0.0
*lab*olv**$_{Ma}$: 1.0 0.0 0.18

Ein und Ausgabe: Farbmetrisches Drucker-Reflektiv-System FRS09_92aM für relativen CIELAB-Buntton $h^* = lab^*h^* = h_{ab}/360 = 42/360 = 0.117$
Daten für jede Farbe: *lab*tch** **und** *lab*icu**
Elementar-Bunttontext: *u* = r25j*
Kontrastreduzierungsfaktor: $c_R = 1.0$
Daten für Maximalfarbe (Ma):
*LAB*LAB**$_{Ma}$: 39 55 49
*LAB*LCH**$_{Ma}$: 39 74 42
*lab*rgb**$_{Ma}$: 1.0 0.25 0.0
*lab*olv**$_{Ma}$: 1.0 0.08 0.0

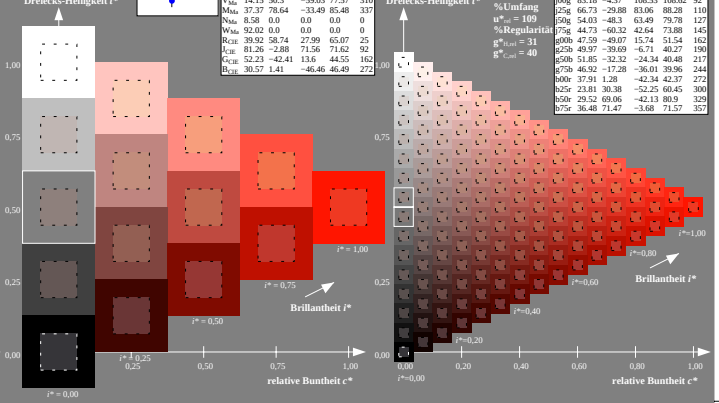

Ein und Ausgabe: Farbmetrisches Drucker-Reflektiv-System FRS09_92aM für relativen CIELAB-Buntton $h^* = lab^*h^* = h_{ab}/360 = 59/360 = 0.164$
Daten für jede Farbe: *lab*tch** **und** *lab*icu**
Elementar-Bunttontext: *u* = r50j*
Kontrastreduzierungsfaktor: $c_R = 1.0$
Daten für Maximalfarbe (Ma):
*LAB*LAB**$_{Ma}$: 51 39 65
*LAB*LCH**$_{Ma}$: 51 76 59
*lab*rgb**$_{Ma}$: 1.0 0.5 0.0
*lab*olv**$_{Ma}$: 1.0 0.32 0.0

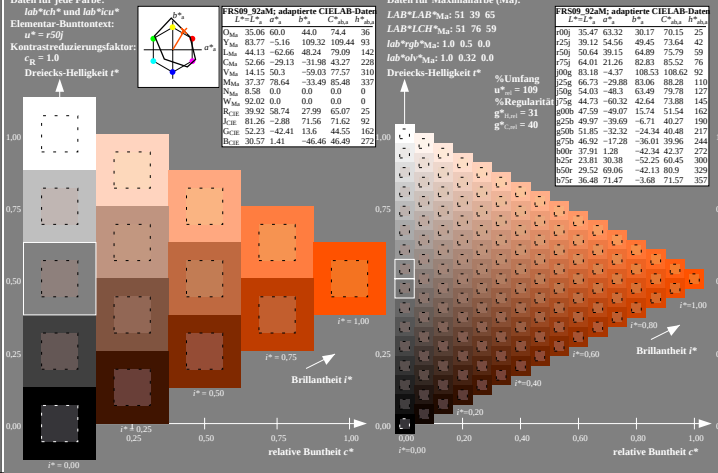

Ein und Ausgabe: Farbmetrisches Drucker-Reflektiv-System FRS09_92aM für relativen CIELAB-Buntton $h^* = lab^*h^* = h_{ab}/360 = 76/360 = 0.21$
Daten für jede Farbe: *lab*tch** **und** *lab*icu**
Elementar-Bunttontext: *u* = r75j*
Kontrastreduzierungsfaktor: $c_R = 1.0$
Daten für Maximalfarbe (Ma):
*LAB*LAB**$_{Ma}$: 64 21 83
*LAB*LCH**$_{Ma}$: 64 86 76
*lab*rgb**$_{Ma}$: 1.0 0.75 0.0
*lab*olv**$_{Ma}$: 1.0 0.59 0.0

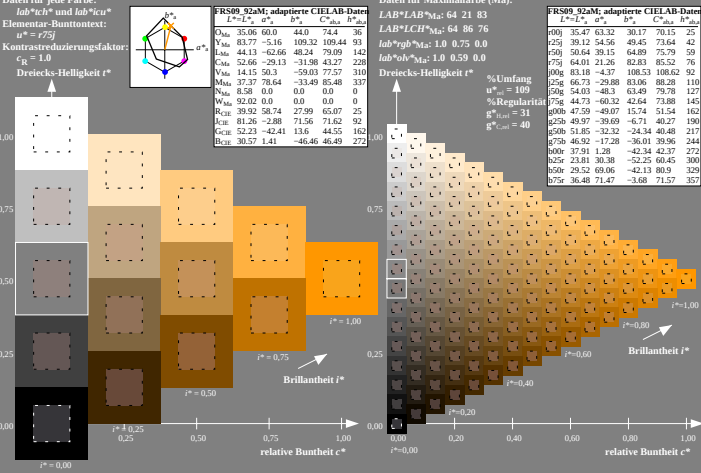

Ein und Ausgabe: Farbmetrisches Drucker-Reflektiv-System FRS09_92aM für relativen CIELAB-Buntton $h^* = lab^*h^* = h_{ab}/360 = 92/360 = 0.256$
Daten für jede Farbe: *lab*tch** **und** *lab*icu**
Elementar-Bunttontext: *u* = j00g*
Kontrastreduzierungsfaktor: $c_R = 1.0$
Daten für Maximalfarbe (Ma):
*LAB*LAB**$_{Ma}$: 83 −3 109
*LAB*LCH**$_{Ma}$: 83 109 92
*lab*rgb**$_{Ma}$: 1.0 1.0 0.0
*lab*olv**$_{Ma}$: 1.0 0.99 0.0

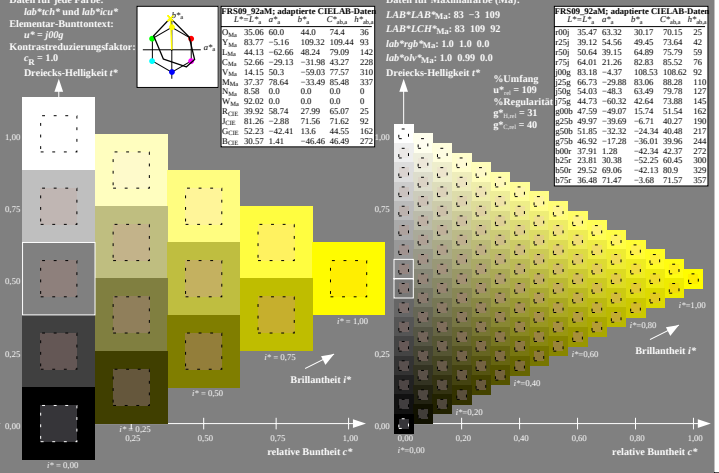

Ein und Ausgabe: Farbmetrisches Drucker-Reflektiv-System FRS09_92aM für relativen CIELAB-Buntton $h^* = lab^*h^* = h_{ab}/360 = 110/360 = 0.305$
Daten für jede Farbe: *lab*tch** **und** *lab*icu**
Elementar-Bunttontext: *u* = j25g*
Kontrastreduzierungsfaktor: $c_R = 1.0$
Daten für Maximalfarbe (Ma):
*LAB*LAB**$_{Ma}$: 67 −29 83
*LAB*LCH**$_{Ma}$: 67 88 110
*lab*rgb**$_{Ma}$: 0.75 1.0 0.0
*lab*olv**$_{Ma}$: 0.57 1.0 0.0

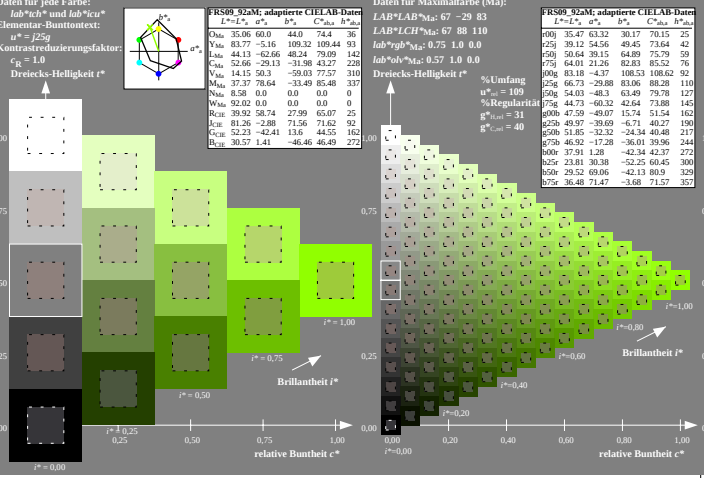

Ein und Ausgabe: Farbmetrisches Drucker-Reflektiv-System FRS09_92aM für relativen CIELAB-Buntton $h^* = lab^*h^* = h_{ab}/360 = 127/360 = 0.354$
Daten für jede Farbe: *lab*tch** **und** *lab*icu**
Elementar-Bunttontext: *u* = j50g*
Kontrastreduzierungsfaktor: $c_R = 1.0$
Daten für Maximalfarbe (Ma):
*LAB*LAB**$_{Ma}$: 54 −47 63
*LAB*LCH**$_{Ma}$: 54 80 127
*lab*rgb**$_{Ma}$: 0.5 1.0 0.0
*lab*olv**$_{Ma}$: 0.25 1.0 0.0

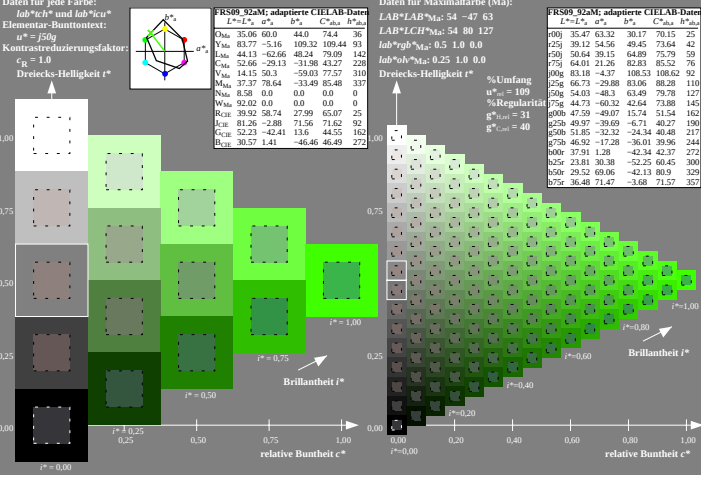

Ein und Ausgabe: Farbmetrisches Drucker-Reflektiv-System FRS09_92aM für relativen CIELAB-Buntton $h^* = lab^*h^* = h_{ab}/360 = 145/360 = 0.402$
Daten für jede Farbe: *lab*tch** **und** *lab*icu**
Elementar-Bunttontext: *u* = j75g*
Kontrastreduzierungsfaktor: $c_R = 1.0$
Daten für Maximalfarbe (Ma):
*LAB*LAB**$_{Ma}$: 45 −59 43
*LAB*LCH**$_{Ma}$: 45 74 145
*lab*rgb**$_{Ma}$: 0.25 1.0 0.0
*lab*olv**$_{Ma}$: 0.0 1.0 0.07

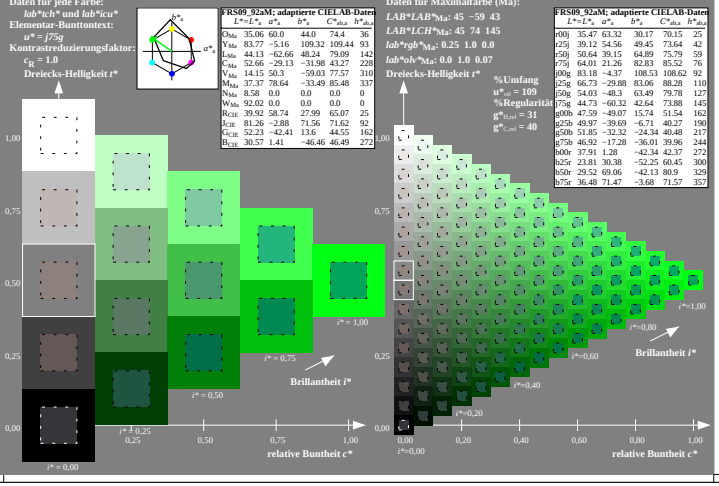

Ein und Ausgabe:
Farbmetrisches Drucker-Reflektiv-System FRS09_92aM
Daten für jede Farbe:
lab**tch* und lab**icu
Elementar-Bunttontext:
u* = 16 Bunttöne r00j, r25j, ..., b75r
Kontrastreduzierungsfaktor:
$c_R = 1.0$

FRS09_92aM; adaptierte CIELAB-Daten

	$L^*=L^*_a$	a^*_a	b^*_a	$C^*_{ab,a}$	$h^*_{ab,a}$
r00j	35.47	63.32	30.17	70.15	25
r25j	39.12	54.56	49.45	73.64	42
r50j	50.64	39.15	64.89	75.79	59
r75j	64.01	21.26	82.83	85.52	76
j00g	83.18	−4.37	108.53	108.62	92
j25g	66.73	−29.88	83.06	88.28	110
j50g	54.03	−48.3	63.49	79.78	127
j75g	44.73	−60.32	42.64	73.88	145
g00b	47.59	−49.07	15.74	51.54	162
g25b	49.97	−39.69	−6.71	40.27	190
g50b	51.85	−32.32	−24.34	40.48	217
g75b	46.92	−17.28	−36.01	39.96	244
b00r	37.91	1.28	−42.34	42.37	272
b25r	23.81	30.38	−52.25	60.45	300
b50r	29.52	69.06	−42.13	80.9	329
b75r	36.48	71.47	−3.68	71.57	357

	$L^*=L^*_a$	a^*_a	b^*_a	$C^*_{ab,a}$	$h^*_{ab,a}$
O_{Ma}	35.06	60.0	44.0	74.4	36
Y_{Ma}	83.77	−5.16	109.32	109.44	93
L_{Ma}	44.13	−62.66	48.24	79.09	142
C_{Ma}	52.66	−29.13	−31.98	43.27	228
V_{Ma}	14.15	50.3	−59.03	77.57	310
M_{Ma}	37.37	78.64	−33.49	85.48	337
N_{Ma}	8.58	0.0	0.0	0.0	0
W_{Ma}	92.02	0.0	0.0	0.0	0
R_{CIE}	39.92	58.74	27.99	65.07	25
J_{CIE}	81.26	−2.88	71.56	71.62	92
G_{CIE}	52.23	−42.41	13.6	44.55	162
B_{CIE}	30.57	1.41	−46.46	46.49	272

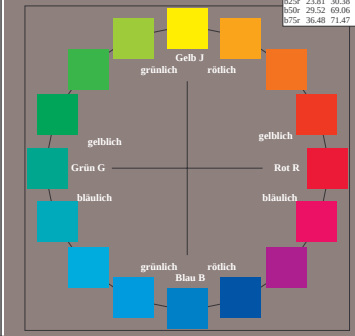

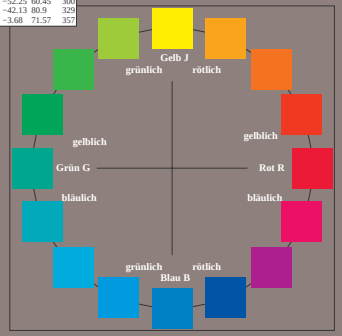

Ein und Ausgabe: Farbmetrisches Drucker-Reflektiv-System FRS09_92aM für relativen CIELAB-Buntton $h^* = lab^*h^* = h_{ab}/360 = 25/360 = 0.071$
Daten für jede Farbe:
lab**tch* und lab**icu
u* = r00j
Elementar-Bunttontext:
Kontrastreduzierungsfaktor:
$c_R = 1.0$
Daten für Maximalfarbe (Ma):
***LAB*LAB*Ma*: 35 63 30**
***LAB*LCH*Ma*: 35 70 25**
***lab*rgb*Ma*: 1.0 0.0 0.0**
***lab*ob*Ma*: 1.0 0.0 0.18**
%Umfang
$u^*_{vol} = 109$
%Regularität
$g^*_{H,rel} = 31$
$g^*_{C,rel} = 40$

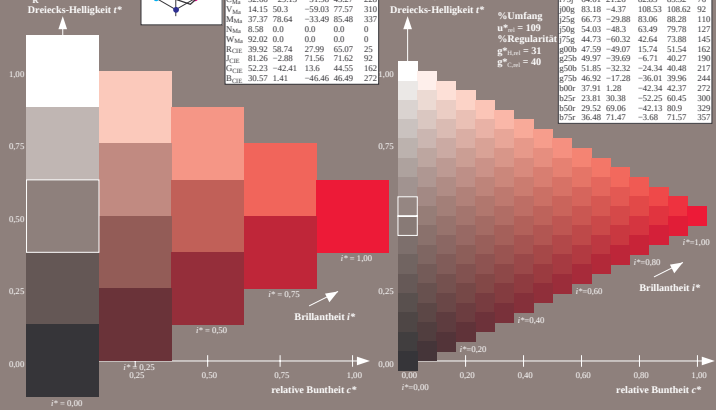

Ein und Ausgabe: Farbmetrisches Drucker-Reflektiv-System FRS09_92aM für relativen CIELAB-Buntton $h^* = lab^*h^* = h_{ab}/360 = 42/360 = 0.117$
Daten für jede Farbe:
lab**tch* und lab**icu
u* = r25j
Elementar-Bunttontext:
Kontrastreduzierungsfaktor:
$c_R = 1.0$
Daten für Maximalfarbe (Ma):
***LAB*LAB*Ma*: 39 55 49**
***LAB*LCH*Ma*: 39 74 42**
***lab*rgb*Ma*: 1.0 0.25 0.0**
***lab*ob*Ma*: 1.0 0.08 0.0**
%Umfang
$u^*_{vol} = 109$
%Regularität
$g^*_{H,rel} = 31$
$g^*_{C,rel} = 40$

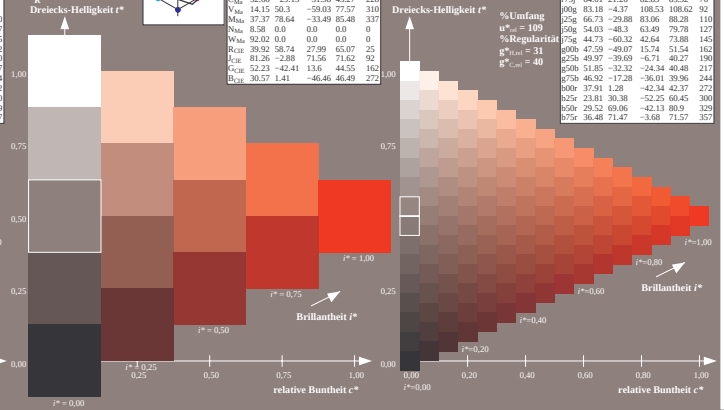

Ein und Ausgabe: Farbmetrisches Drucker-Reflektiv-System FRS09_92aM für relativen CIELAB-Buntton $h^* = lab^*h^* = h_{ab}/360 = 59/360 = 0.164$
Daten für jede Farbe:
lab**tch* und lab**icu
u* = r50j
Elementar-Bunttontext:
Kontrastreduzierungsfaktor:
$c_R = 1.0$
Daten für Maximalfarbe (Ma):
***LAB*LAB*Ma*: 51 39 65**
***LAB*LCH*Ma*: 51 76 59**
***lab*rgb*Ma*: 1.0 0.5 0.0**
***lab*ob*Ma*: 1.0 0.32 0.0**
%Umfang
$u^*_{vol} = 109$
%Regularität
$g^*_{H,rel} = 31$
$g^*_{C,rel} = 40$

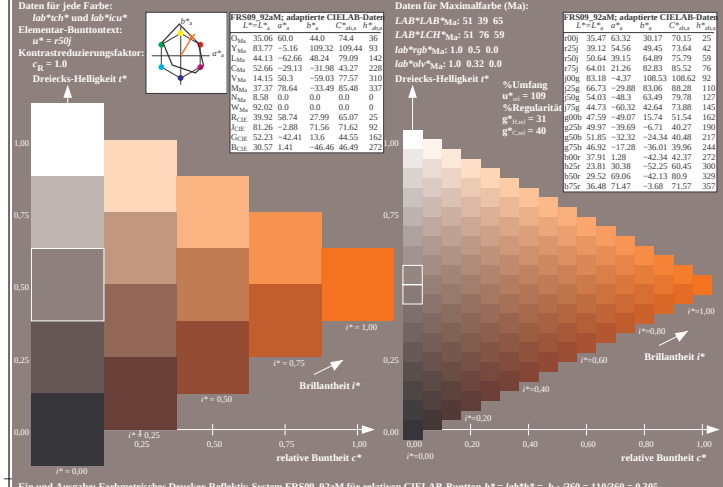

Ein und Ausgabe: Farbmetrisches Drucker-Reflektiv-System FRS09_92aM für relativen CIELAB-Buntton $h^* = lab^*h^* = h_{ab}/360 = 76/360 = 0.21$
Daten für jede Farbe:
lab**tch* und lab**icu
u* = r75j
Elementar-Bunttontext:
Kontrastreduzierungsfaktor:
$c_R = 1.0$
Daten für Maximalfarbe (Ma):
***LAB*LAB*Ma*: 64 21 83**
***LAB*LCH*Ma*: 64 86 76**
***lab*rgb*Ma*: 1.0 0.75 0.0**
***lab*ob*Ma*: 1.0 0.59 0.0**
%Umfang
$u^*_{vol} = 109$
%Regularität
$g^*_{H,rel} = 31$
$g^*_{C,rel} = 40$

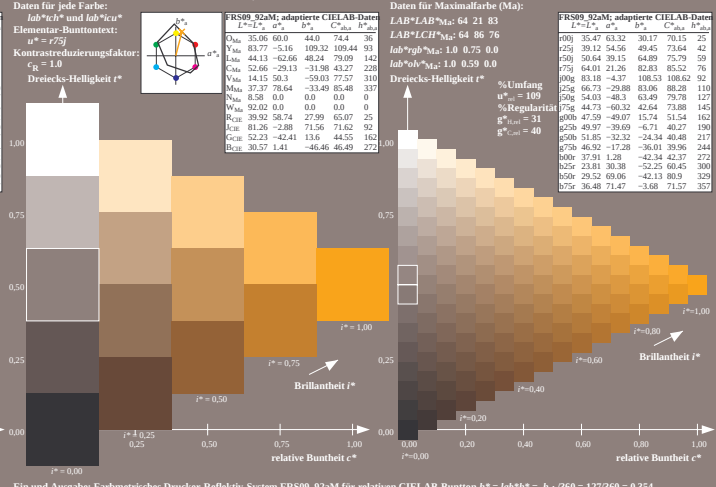

Ein und Ausgabe: Farbmetrisches Drucker-Reflektiv-System FRS09_92aM für relativen CIELAB-Buntton $h^* = lab^*h^* = h_{ab}/360 = 92/360 = 0.256$
Daten für jede Farbe:
lab**tch* und lab**icu
u* = j00g
Elementar-Bunttontext:
Kontrastreduzierungsfaktor:
$c_R = 1.0$
Daten für Maximalfarbe (Ma):
***LAB*LAB*Ma*: 83 −3 109**
***LAB*LCH*Ma*: 83 109 92**
***lab*rgb*Ma*: 1.0 1.0 0.0**
***lab*ob*Ma*: 1.0 0.99 0.0**
%Umfang
$u^*_{vol} = 109$
%Regularität
$g^*_{H,rel} = 31$
$g^*_{C,rel} = 40$

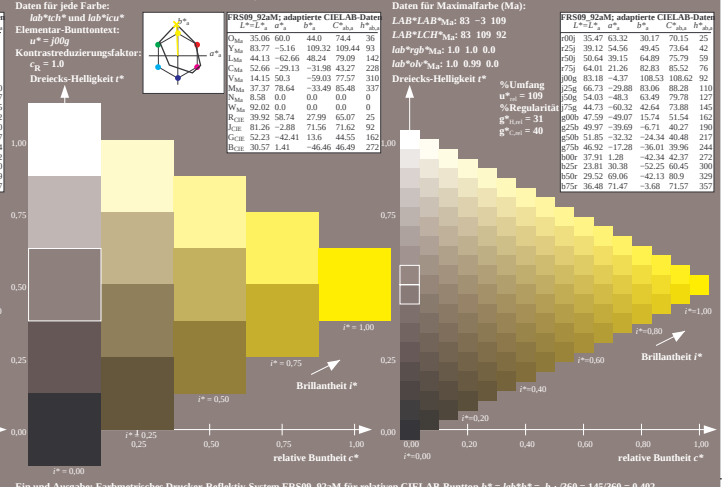

Ein und Ausgabe: Farbmetrisches Drucker-Reflektiv-System FRS09_92aM für relativen CIELAB-Buntton $h^* = lab^*h^* = h_{ab}/360 = 110/360 = 0.305$
Daten für jede Farbe:
lab**tch* und lab**icu
u* = j25g
Elementar-Bunttontext:
Kontrastreduzierungsfaktor:
$c_R = 1.0$
Daten für Maximalfarbe (Ma):
***LAB*LAB*Ma*: 67 −29 83**
***LAB*LCH*Ma*: 67 88 110**
***lab*rgb*Ma*: 0.75 1.0 0.0**
***lab*ob*Ma*: 0.57 1.0 0.0**
%Umfang
$u^*_{vol} = 109$
%Regularität
$g^*_{H,rel} = 31$
$g^*_{C,rel} = 40$

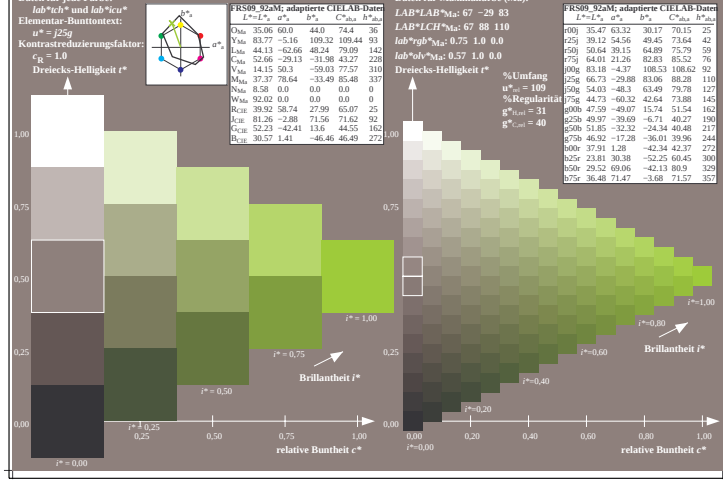

Ein und Ausgabe: Farbmetrisches Drucker-Reflektiv-System FRS09_92aM für relativen CIELAB-Buntton $h^* = lab^*h^* = h_{ab}/360 = 127/360 = 0.354$
Daten für jede Farbe:
lab**tch* und lab**icu
u* = j50g
Elementar-Bunttontext:
Kontrastreduzierungsfaktor:
$c_R = 1.0$
Daten für Maximalfarbe (Ma):
***LAB*LAB*Ma*: 54 −47 63**
***LAB*LCH*Ma*: 54 80 127**
***lab*rgb*Ma*: 0.5 1.0 0.0**
***lab*ob*Ma*: 0.25 1.0 0.0**
%Umfang
$u^*_{vol} = 109$
%Regularität
$g^*_{H,rel} = 31$
$g^*_{C,rel} = 40$

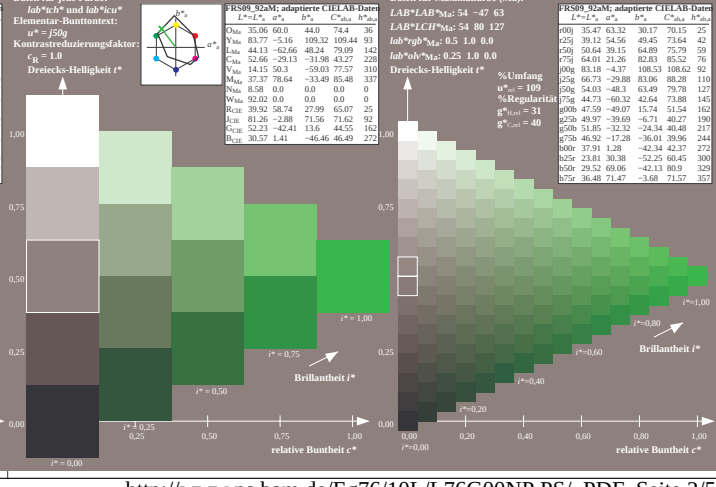

Ein und Ausgabe: Farbmetrisches Drucker-Reflektiv-System FRS09_92aM für relativen CIELAB-Buntton $h^* = lab^*h^* = h_{ab}/360 = 145/360 = 0.402$
Daten für jede Farbe:
lab**tch* und lab**icu
u* = j75g
Elementar-Bunttontext:
Kontrastreduzierungsfaktor:
$c_R = 1.0$
Daten für Maximalfarbe (Ma):
***LAB*LAB*Ma*: 45 −59 43**
***LAB*LCH*Ma*: 45 74 145**
***lab*rgb*Ma*: 0.25 1.0 0.0**
***lab*ob*Ma*: 0.0 1.0 0.07**
%Umfang
$u^*_{vol} = 109$
%Regularität
$g^*_{H,rel} = 31$
$g^*_{C,rel} = 40$

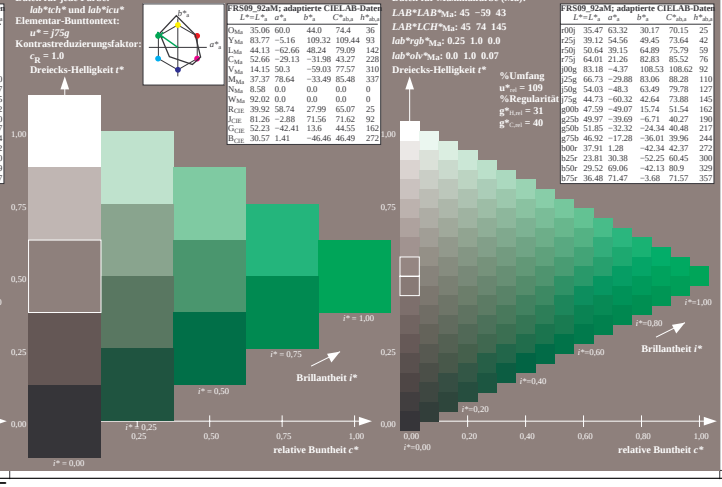

Ein und Ausgabe:
Farbmetrisches Drucker-Reflektiv-System FRS09_92aM
Daten für jede Farbe:
lab**tch **und** ***lab**icu***
Elementar-Bunttontext:
u* = 16 Bunttöne r00j, r25j, ..., b75r
Kontrastreduzierungsfaktor:
$c_R = 1.0$

FRS09_92aM; adaptierte CIELAB-Daten				
$L^*=L^*_a$	a^*_a	b^*_a	$C^*_{ab,a}$	$h^*_{ab,a}$
r00j	35.47	63.32	30.17	70.15	25
r25j	39.12	54.56	49.45	73.64	42
r50j	50.64	39.15	64.89	75.79	59
r75j	64.01	21.26	82.83	85.52	76
j00g	83.18	−4.37	108.53	108.62	92
j25g	66.73	−29.88	83.06	88.28	110
j50g	54.03	−48.3	63.49	79.78	127
j75g	44.73	−60.32	42.64	73.88	145
g00b	47.59	−49.07	15.74	51.54	162
g25b	49.97	−39.69	−6.71	40.27	190
g50b	51.85	−32.32	−24.34	40.48	217
g75b	46.92	−17.28	−36.01	39.96	244
b00r	37.91	1.28	−42.34	42.37	272
b25r	23.81	30.38	−52.25	60.45	300
b50r	29.52	69.06	−42.13	80.9	329
b75r	36.48	71.47	−3.68	71.57	357

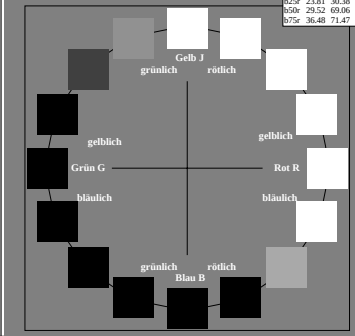

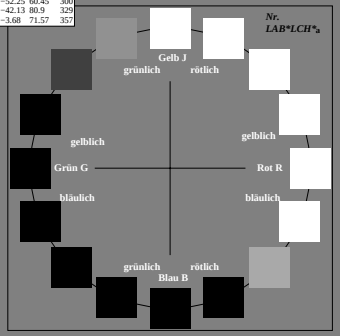

O_{Mu}	35.06	60.0	44.0	74.4	36
Y_{Mu}	83.77	−5.16	109.32	109.44	93
L_{Mu}	44.13	−62.66	48.24	79.09	142
C_{Mu}	52.66	−29.13	−31.98	43.27	228
V_{Mu}	14.15	50.3	−59.03	77.57	310
M_{Mu}	37.37	78.64	−33.49	85.48	337
N_{Mu}	8.58	0.0	0.0	0.0	0
W_{Mu}	92.02	0.0	0.0	0.0	0
R_{CIE}	39.92	58.74	27.99	65.07	25
J_{CIE}	81.26	−2.88	71.56	71.62	92
G_{CIE}	52.23	−42.41	13.6	44.55	162
B_{CIE}	30.57	1.41	−46.46	46.49	272

%Umfang $u^*_{col} = 109$
%Regularität $g^*_{H,col} = 31$
$g^*_{C,col} = 40$

Ein und Ausgabe: Farbmetrisches Drucker-Reflektiv-System FRS09_92aM für relativen CIELAB-Buntton $h^* = lab^*h^* = h_{ab}/360 = 25/360 = 0.071$
Daten für jede Farbe:
lab**tch **und** ***lab**icu***
u* = r00j
Elementar-Bunttontext:
Kontrastreduzierungsfaktor:
$c_R = 1.0$
Dreiecks-Helligkeit t^*

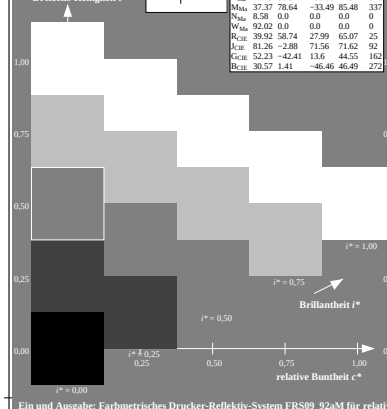

Daten für Maximalfarbe (Ma):
***LAB**LAB**Ma: 35 63 30**
***LAB**LCH**Ma: 35 70 25**
***lab**rgb**Ma: 1.0 0.0 0.0**
***lab**olv**Ma: 1.0 0.0 0.18**
Dreiecks-Helligkeit t^*

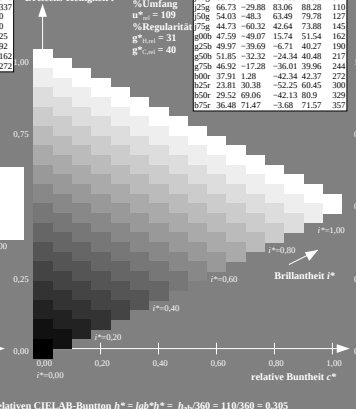

FRS09_92aM; adaptierte CIELAB-Daten				
$L^*=L^*_a$	a^*_a	b^*_a	$C^*_{ab,a}$	$h^*_{ab,a}$
r00j	35.47	63.32	30.17	70.15	25
r25j	39.12	54.56	49.45	73.64	42
r50j	50.64	39.15	64.89	75.79	59
r75j	64.01	21.26	82.83	85.52	76
j00g	83.18	−4.37	108.53	108.62	92
j25g	66.73	−29.88	83.06	88.28	110
j50g	54.03	−48.3	63.49	79.78	127
j75g	44.73	−60.32	42.64	73.88	145
g00b	47.59	−49.07	15.74	51.54	162
g25b	49.97	−39.69	−6.71	40.27	190
g50b	51.85	−32.32	−24.34	40.48	217
g75b	46.92	−17.28	−36.01	39.96	244
b00r	37.91	1.28	−42.34	42.37	272
b25r	23.81	30.38	−52.25	60.45	300
b50r	29.52	69.06	−42.13	80.9	329
b75r	36.48	71.47	−3.68	71.57	357

O_{Mu}	35.06	60.0	44.0	74.4	36
Y_{Mu}	83.77	−5.16	109.32	109.44	93
L_{Mu}	44.13	−62.66	48.24	79.09	142
C_{Mu}	52.66	−29.13	−31.98	43.27	228
V_{Mu}	14.15	50.3	−59.03	77.57	310
M_{Mu}	37.37	78.64	−33.49	85.48	337
N_{Mu}	8.58	0.0	0.0	0.0	0
W_{Mu}	92.02	0.0	0.0	0.0	0
R_{CIE}	39.92	58.74	27.99	65.07	25
J_{CIE}	81.26	−2.88	71.56	71.62	92
G_{CIE}	52.23	−42.41	13.6	44.55	162
B_{CIE}	30.57	1.41	−46.46	46.49	272

Ein und Ausgabe: Farbmetrisches Drucker-Reflektiv-System FRS09_92aM für relativen CIELAB-Buntton $h^* = lab^*h^* = h_{ab}/360 = 42/360 = 0.117$
Daten für jede Farbe:
lab**tch **und** ***lab**icu***
u* = r25j
Elementar-Bunttontext:
Kontrastreduzierungsfaktor:
$c_R = 1.0$
Dreiecks-Helligkeit t^*

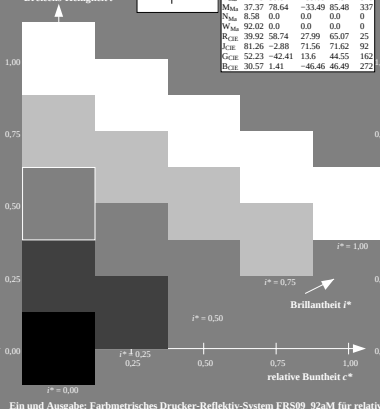

Daten für Maximalfarbe (Ma):
***LAB**LAB**Ma: 39 55 49**
***LAB**LCH**Ma: 39 74 42**
***lab**rgb**Ma: 1.0 0.25 0.0**
***lab**olv**Ma: 1.0 0.08 0.0**
Dreiecks-Helligkeit t^*

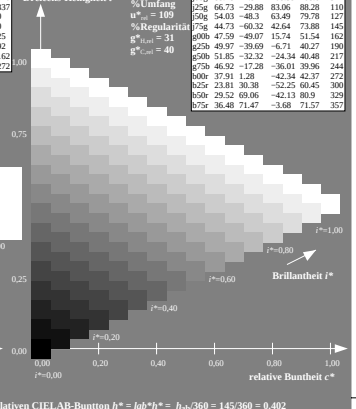

FRS09_92aM; adaptierte CIELAB-Daten				
$L^*=L^*_a$	a^*_a	b^*_a	$C^*_{ab,a}$	$h^*_{ab,a}$
r00j	35.47	63.32	30.17	70.15	25
r25j	39.12	54.56	49.45	73.64	42
r50j	50.64	39.15	64.89	75.79	59
r75j	64.01	21.26	82.83	85.52	76
j00g	83.18	−4.37	108.53	108.62	92
j25g	66.73	−29.88	83.06	88.28	110
j50g	54.03	−48.3	63.49	79.78	127
j75g	44.73	−60.32	42.64	73.88	145
g00b	47.59	−49.07	15.74	51.54	162
g25b	49.97	−39.69	−6.71	40.27	190
g50b	51.85	−32.32	−24.34	40.48	217
g75b	46.92	−17.28	−36.01	39.96	244
b00r	37.91	1.28	−42.34	42.37	272
b25r	23.81	30.38	−52.25	60.45	300
b50r	29.52	69.06	−42.13	80.9	329
b75r	36.48	71.47	−3.68	71.57	357

O_{Mu}	35.06	60.0	44.0	74.4	36
Y_{Mu}	83.77	−5.16	109.32	109.44	93
L_{Mu}	44.13	−62.66	48.24	79.09	142
C_{Mu}	52.66	−29.13	−31.98	43.27	228
V_{Mu}	14.15	50.3	−59.03	77.57	310
M_{Mu}	37.37	78.64	−33.49	85.48	337
N_{Mu}	8.58	0.0	0.0	0.0	0
W_{Mu}	92.02	0.0	0.0	0.0	0
R_{CIE}	39.92	58.74	27.99	65.07	25
J_{CIE}	81.26	−2.88	71.56	71.62	92
G_{CIE}	52.23	−42.41	13.6	44.55	162
B_{CIE}	30.57	1.41	−46.46	46.49	272

Ein und Ausgabe: Farbmetrisches Drucker-Reflektiv-System FRS09_92aM für relativen CIELAB-Buntton $h^* = lab^*h^* = h_{ab}/360 = 59/360 = 0.164$
Daten für jede Farbe:
lab**tch **und** ***lab**icu***
u* = r50j
Elementar-Bunttontext:
Kontrastreduzierungsfaktor:
$c_R = 1.0$
Dreiecks-Helligkeit t^*

Daten für Maximalfarbe (Ma):
***LAB**LAB**Ma: 51 39 65**
***LAB**LCH**Ma: 51 76 59**
***lab**rgb**Ma: 1.0 0.5 0.0**
***lab**olv**Ma: 1.0 0.32 0.0**
Dreiecks-Helligkeit t^*

FRS09_92aM; adaptierte CIELAB-Daten				
$L^*=L^*_a$	a^*_a	b^*_a	$C^*_{ab,a}$	$h^*_{ab,a}$
r00j	35.47	63.32	30.17	70.15	25
r25j	39.12	54.56	49.45	73.64	42
r50j	50.64	39.15	64.89	75.79	59
r75j	64.01	21.26	82.83	85.52	76
j00g	83.18	−4.37	108.53	108.62	92
j25g	66.73	−29.88	83.06	88.28	110
j50g	54.03	−48.3	63.49	79.78	127
j75g	44.73	−60.32	42.64	73.88	145
g00b	47.59	−49.07	15.74	51.54	162
g25b	49.97	−39.69	−6.71	40.27	190
g50b	51.85	−32.32	−24.34	40.48	217
g75b	46.92	−17.28	−36.01	39.96	244
b00r	37.91	1.28	−42.34	42.37	272
b25r	23.81	30.38	−52.25	60.45	300
b50r	29.52	69.06	−42.13	80.9	329
b75r	36.48	71.47	−3.68	71.57	357

O_{Mu}	35.06	60.0	44.0	74.4	36
Y_{Mu}	83.77	−5.16	109.32	109.44	93
L_{Mu}	44.13	−62.66	48.24	79.09	142
C_{Mu}	52.66	−29.13	−31.98	43.27	228
V_{Mu}	14.15	50.3	−59.03	77.57	310
M_{Mu}	37.37	78.64	−33.49	85.48	337
N_{Mu}	8.58	0.0	0.0	0.0	0
W_{Mu}	92.02	0.0	0.0	0.0	0
R_{CIE}	39.92	58.74	27.99	65.07	25
J_{CIE}	81.26	−2.88	71.56	71.62	92
G_{CIE}	52.23	−42.41	13.6	44.55	162
B_{CIE}	30.57	1.41	−46.46	46.49	272

Ein und Ausgabe: Farbmetrisches Drucker-Reflektiv-System FRS09_92aM für relativen CIELAB-Buntton $h^* = lab^*h^* = h_{ab}/360 = 76/360 = 0.21$
Daten für jede Farbe:
lab**tch **und** ***lab**icu***
u* = r75j
Elementar-Bunttontext:
Kontrastreduzierungsfaktor:
$c_R = 1.0$
Dreiecks-Helligkeit t^*

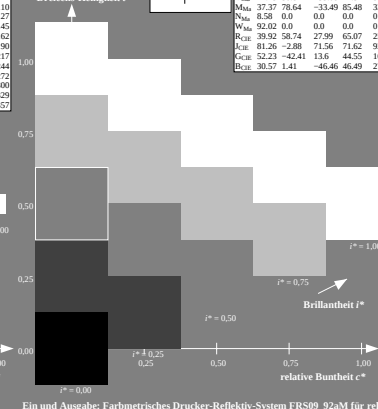

Daten für Maximalfarbe (Ma):
***LAB**LAB**Ma: 64 21 83**
***LAB**LCH**Ma: 64 86 76**
***lab**rgb**Ma: 1.0 0.75 0.0**
***lab**olv**Ma: 1.0 0.59 0.0**
Dreiecks-Helligkeit t^*

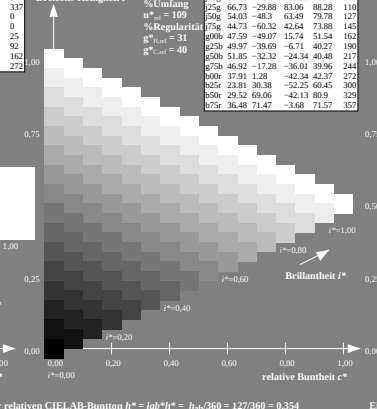

FRS09_92aM; adaptierte CIELAB-Daten				
$L^*=L^*_a$	a^*_a	b^*_a	$C^*_{ab,a}$	$h^*_{ab,a}$
r00j	35.47	63.32	30.17	70.15	25
r25j	39.12	54.56	49.45	73.64	42
r50j	50.64	39.15	64.89	75.79	59
r75j	64.01	21.26	82.83	85.52	76
j00g	83.18	−4.37	108.53	108.62	92
j25g	66.73	−29.88	83.06	88.28	110
j50g	54.03	−48.3	63.49	79.78	127
j75g	44.73	−60.32	42.64	73.88	145
g00b	47.59	−49.07	15.74	51.54	162
g25b	49.97	−39.69	−6.71	40.27	190
g50b	51.85	−32.32	−24.34	40.48	217
g75b	46.92	−17.28	−36.01	39.96	244
b00r	37.91	1.28	−42.34	42.37	272
b25r	23.81	30.38	−52.25	60.45	300
b50r	29.52	69.06	−42.13	80.9	329
b75r	36.48	71.47	−3.68	71.57	357

O_{Mu}	35.06	60.0	44.0	74.4	36
Y_{Mu}	83.77	−5.16	109.32	109.44	93
L_{Mu}	44.13	−62.66	48.24	79.09	142
C_{Mu}	52.66	−29.13	−31.98	43.27	228
V_{Mu}	14.15	50.3	−59.03	77.57	310
M_{Mu}	37.37	78.64	−33.49	85.48	337
N_{Mu}	8.58	0.0	0.0	0.0	0
W_{Mu}	92.02	0.0	0.0	0.0	0
R_{CIE}	39.92	58.74	27.99	65.07	25
J_{CIE}	81.26	−2.88	71.56	71.62	92
G_{CIE}	52.23	−42.41	13.6	44.55	162
B_{CIE}	30.57	1.41	−46.46	46.49	272

Ein und Ausgabe: Farbmetrisches Drucker-Reflektiv-System FRS09_92aM für relativen CIELAB-Buntton $h^* = lab^*h^* = h_{ab}/360 = 92/360 = 0.256$
Daten für jede Farbe:
lab**tch **und** ***lab**icu***
u* = j00g
Elementar-Bunttontext:
Kontrastreduzierungsfaktor:
$c_R = 1.0$
Dreiecks-Helligkeit t^*

Daten für Maximalfarbe (Ma):
***LAB**LAB**Ma: 83 −3 109**
***LAB**LCH**Ma: 83 109 92**
***lab**rgb**Ma: 1.0 1.0 0.0**
***lab**olv**Ma: 1.0 0.99 0.0**
Dreiecks-Helligkeit t^*

FRS09_92aM; adaptierte CIELAB-Daten				
$L^*=L^*_a$	a^*_a	b^*_a	$C^*_{ab,a}$	$h^*_{ab,a}$
r00j	35.47	63.32	30.17	70.15	25
r25j	39.12	54.56	49.45	73.64	42
r50j	50.64	39.15	64.89	75.79	59
r75j	64.01	21.26	82.83	85.52	76
j00g	83.18	−4.37	108.53	108.62	92
j25g	66.73	−29.88	83.06	88.28	110
j50g	54.03	−48.3	63.49	79.78	127
j75g	44.73	−60.32	42.64	73.88	145
g00b	47.59	−49.07	15.74	51.54	162
g25b	49.97	−39.69	−6.71	40.27	190
g50b	51.85	−32.32	−24.34	40.48	217
g75b	46.92	−17.28	−36.01	39.96	244
b00r	37.91	1.28	−42.34	42.37	272
b25r	23.81	30.38	−52.25	60.45	300
b50r	29.52	69.06	−42.13	80.9	329
b75r	36.48	71.47	−3.68	71.57	357

O_{Mu}	35.06	60.0	44.0	74.4	36
Y_{Mu}	83.77	−5.16	109.32	109.44	93
L_{Mu}	44.13	−62.66	48.24	79.09	142
C_{Mu}	52.66	−29.13	−31.98	43.27	228
V_{Mu}	14.15	50.3	−59.03	77.57	310
M_{Mu}	37.37	78.64	−33.49	85.48	337
N_{Mu}	8.58	0.0	0.0	0.0	0
W_{Mu}	92.02	0.0	0.0	0.0	0
R_{CIE}	39.92	58.74	27.99	65.07	25
J_{CIE}	81.26	−2.88	71.56	71.62	92
G_{CIE}	52.23	−42.41	13.6	44.55	162
B_{CIE}	30.57	1.41	−46.46	46.49	272

Ein und Ausgabe: Farbmetrisches Drucker-Reflektiv-System FRS09_92aM für relativen CIELAB-Buntton $h^* = lab^*h^* = h_{ab}/360 = 110/360 = 0.305$
Daten für jede Farbe:
lab**tch **und** ***lab**icu***
u* = j25g
Elementar-Bunttontext:
Kontrastreduzierungsfaktor:
$c_R = 1.0$
Dreiecks-Helligkeit t^*

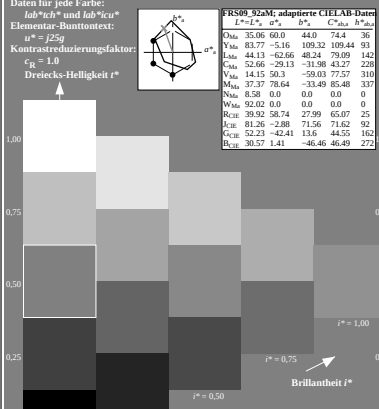

Daten für Maximalfarbe (Ma):
***LAB**LAB**Ma: 67 −29 83**
***LAB**LCH**Ma: 67 88 110**
***lab**rgb**Ma: 0.75 1.0 0.0**
***lab**olv**Ma: 0.57 1.0 0.0**
Dreiecks-Helligkeit t^*

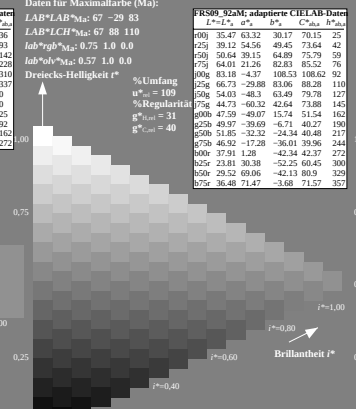

FRS09_92aM; adaptierte CIELAB-Daten				
$L^*=L^*_a$	a^*_a	b^*_a	$C^*_{ab,a}$	$h^*_{ab,a}$
r00j	35.47	63.32	30.17	70.15	25
r25j	39.12	54.56	49.45	73.64	42
r50j	50.64	39.15	64.89	75.79	59
r75j	64.01	21.26	82.83	85.52	76
j00g	83.18	−4.37	108.53	108.62	92
j25g	66.73	−29.88	83.06	88.28	110
j50g	54.03	−48.3	63.49	79.78	127
j75g	44.73	−60.32	42.64	73.88	145
g00b	47.59	−49.07	15.74	51.54	162
g25b	49.97	−39.69	−6.71	40.27	190
g50b	51.85	−32.32	−24.34	40.48	217
g75b	46.92	−17.28	−36.01	39.96	244
b00r	37.91	1.28	−42.34	42.37	272
b25r	23.81	30.38	−52.25	60.45	300
b50r	29.52	69.06	−42.13	80.9	329
b75r	36.48	71.47	−3.68	71.57	357

O_{Mu}	35.06	60.0	44.0	74.4	36
Y_{Mu}	83.77	−5.16	109.32	109.44	93
L_{Mu}	44.13	−62.66	48.24	79.09	142
C_{Mu}	52.66	−29.13	−31.98	43.27	228
V_{Mu}	14.15	50.3	−59.03	77.57	310
M_{Mu}	37.37	78.64	−33.49	85.48	337
N_{Mu}	8.58	0.0	0.0	0.0	0
W_{Mu}	92.02	0.0	0.0	0.0	0
R_{CIE}	39.92	58.74	27.99	65.07	25
J_{CIE}	81.26	−2.88	71.56	71.62	92
G_{CIE}	52.23	−42.41	13.6	44.55	162
B_{CIE}	30.57	1.41	−46.46	46.49	272

Ein und Ausgabe: Farbmetrisches Drucker-Reflektiv-System FRS09_92aM für relativen CIELAB-Buntton $h^* = lab^*h^* = h_{ab}/360 = 127/360 = 0.354$
Daten für jede Farbe:
lab**tch **und** ***lab**icu***
u* = j50g
Elementar-Bunttontext:
Kontrastreduzierungsfaktor:
$c_R = 1.0$
Dreiecks-Helligkeit t^*

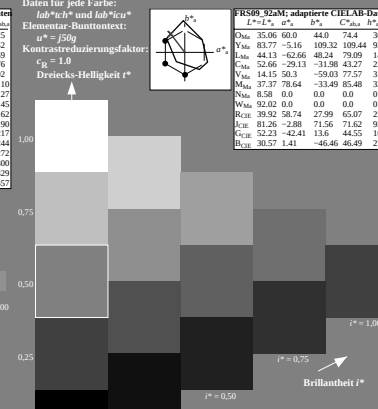

Daten für Maximalfarbe (Ma):
***LAB**LAB**Ma: 54 −47 63**
***LAB**LCH**Ma: 54 80 127**
***lab**rgb**Ma: 0.5 1.0 0.0**
***lab**olv**Ma: 0.25 1.0 0.0**
Dreiecks-Helligkeit t^*

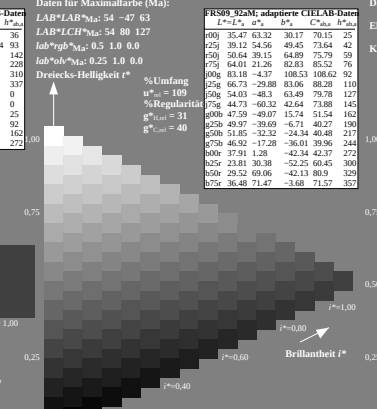

FRS09_92aM; adaptierte CIELAB-Daten				
$L^*=L^*_a$	a^*_a	b^*_a	$C^*_{ab,a}$	$h^*_{ab,a}$
r00j	35.47	63.32	30.17	70.15	25
r25j	39.12	54.56	49.45	73.64	42
r50j	50.64	39.15	64.89	75.79	59
r75j	64.01	21.26	82.83	85.52	76
j00g	83.18	−4.37	108.53	108.62	92
j25g	66.73	−29.88	83.06	88.28	110
j50g	54.03	−48.3	63.49	79.78	127
j75g	44.73	−60.32	42.64	73.88	145
g00b	47.59	−49.07	15.74	51.54	162
g25b	49.97	−39.69	−6.71	40.27	190
g50b	51.85	−32.32	−24.34	40.48	217
g75b	46.92	−17.28	−36.01	39.96	244
b00r	37.91	1.28	−42.34	42.37	272
b25r	23.81	30.38	−52.25	60.45	300
b50r	29.52	69.06	−42.13	80.9	329
b75r	36.48	71.47	−3.68	71.57	357

O_{Mu}	35.06	60.0	44.0	74.4	36
Y_{Mu}	83.77	−5.16	109.32	109.44	93
L_{Mu}	44.13	−62.66	48.24	79.09	142
C_{Mu}	52.66	−29.13	−31.98	43.27	228
V_{Mu}	14.15	50.3	−59.03	77.57	310
M_{Mu}	37.37	78.64	−33.49	85.48	337
N_{Mu}	8.58	0.0	0.0	0.0	0
W_{Mu}	92.02	0.0	0.0	0.0	0
R_{CIE}	39.92	58.74	27.99	65.07	25
J_{CIE}	81.26	−2.88	71.56	71.62	92
G_{CIE}	52.23	−42.41	13.6	44.55	162
B_{CIE}	30.57	1.41	−46.46	46.49	272

Ein und Ausgabe: Farbmetrisches Drucker-Reflektiv-System FRS09_92aM für relativen CIELAB-Buntton $h^* = lab^*h^* = h_{ab}/360 = 145/360 = 0.402$
Daten für jede Farbe:
lab**tch **und** ***lab**icu***
u* = j75g
Elementar-Bunttontext:
Kontrastreduzierungsfaktor:
$c_R = 1.0$
Dreiecks-Helligkeit t^*

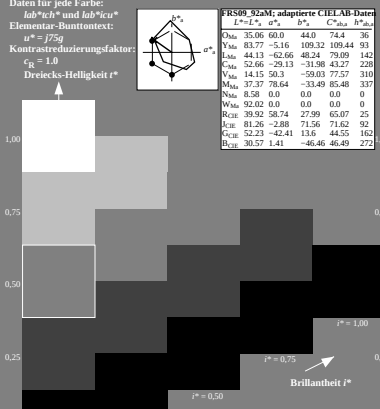

Daten für Maximalfarbe (Ma):
***LAB**LAB**Ma: 45 −59 43**
***LAB**LCH**Ma: 45 74 145**
***lab**rgb**Ma: 0.25 1.0 0.0**
***lab**olv**Ma: 0.0 1.0 0.07**
Dreiecks-Helligkeit t^*

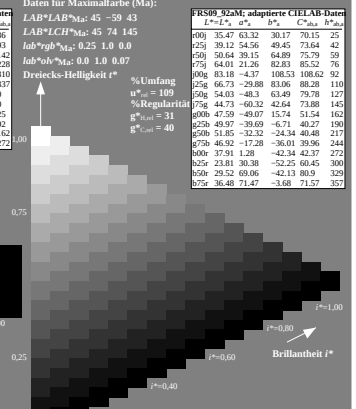

FRS09_92aM; adaptierte CIELAB-Daten				
$L^*=L^*_a$	a^*_a	b^*_a	$C^*_{ab,a}$	$h^*_{ab,a}$
r00j	35.47	63.32	30.17	70.15	25
r25j	39.12	54.56	49.45	73.64	42
r50j	50.64	39.15	64.89	75.79	59
r75j	64.01	21.26	82.83	85.52	76
j00g	83.18	−4.37	108.53	108.62	92
j25g	66.73	−29.88	83.06	88.28	110
j50g	54.03	−48.3	63.49	79.78	127
j75g	44.73	−60.32	42.64	73.88	145
g00b	47.59	−49.07	15.74	51.54	162
g25b	49.97	−39.69	−6.71	40.27	190
g50b	51.85	−32.32	−24.34	40.48	217
g75b	46.92	−17.28	−36.01	39.96	244
b00r	37.91	1.28	−42.34	42.37	272
b25r	23.81	30.38	−52.25	60.45	300
b50r	29.52	69.06	−42.13	80.9	329
b75r	36.48	71.47	−3.68	71.57	357

O_{Mu}	35.06	60.0	44.0	74.4	36
Y_{Mu}	83.77	−5.16	109.32	109.44	93
L_{Mu}	44.13	−62.66	48.24	79.09	142
C_{Mu}	52.66	−29.13	−31.98	43.27	228
V_{Mu}	14.15	50.3	−59.03	77.57	310
M_{Mu}	37.37	78.64	−33.49	85.48	337
N_{Mu}	8.58	0.0	0.0	0.0	0
W_{Mu}	92.02	0.0	0.0	0.0	0
R_{CIE}	39.92	58.74	27.99	65.07	25
J_{CIE}	81.26	−2.88	71.56	71.62	92
G_{CIE}	52.23	−42.41	13.6	44.55	162
B_{CIE}	30.57	1.41	−46.46	46.49	272

Ein und Ausgabe: Farbmetrisches Drucker-Reflektiv-System FRS09_92aM
Daten für jede Farbe: *lab*tch** **und** *lab*icu**
Elementar-Bunttontext: $u^* = 16$ **Bunttöne** *r00j, r25j, ..., b75r*
Kontrastreduzierungsfaktor: $c_R = 1.0$

FRS09_92aM; adaptierte CIELAB-Daten	$L^*=L^*_a$	a^*_a	b^*_a	$C^*_{ab,a}$	$h^*_{ab,a}$
r00j	35.47	63.32	30.17	70.15	25
r25j	39.12	54.56	49.45	73.64	42
r50j	50.64	39.15	64.89	75.79	59
r75j	64.01	21.26	82.83	85.52	76
j00g	83.18	−4.37	108.53	108.62	92
j25g	66.73	−29.88	83.06	88.28	110
j50g	54.03	−48.3	63.49	79.78	127
j75g	44.73	−60.32	42.64	73.88	145
g00b	47.59	−49.07	15.74	51.54	162
g25b	49.97	−39.69	−6.71	40.27	190
g50b	51.85	−32.32	−24.34	40.48	217
g75b	46.92	−17.28	−36.01	39.96	244
b00r	37.91	1.28	−42.34	42.37	272
b25r	23.81	30.38	−52.25	60.45	300
b50r	29.52	69.06	−42.13	80.9	329
b75r	36.48	71.47	−3.68	71.57	357

Ein und Ausgabe: Farbmetrisches Drucker-Reflektiv-System FRS09_92aM für relativen CIELAB-Buntton $h^* = lab^*h^* = h_{ab}/360 = 25/360 = 0.071$
Daten für jede Farbe: *lab*tch** **und** *lab*icu**
Elementar-Bunttontext: $u^* = r00j$
Kontrastreduzierungsfaktor: $c_R = 1.0$
Dreiecks-Helligkeit t^*

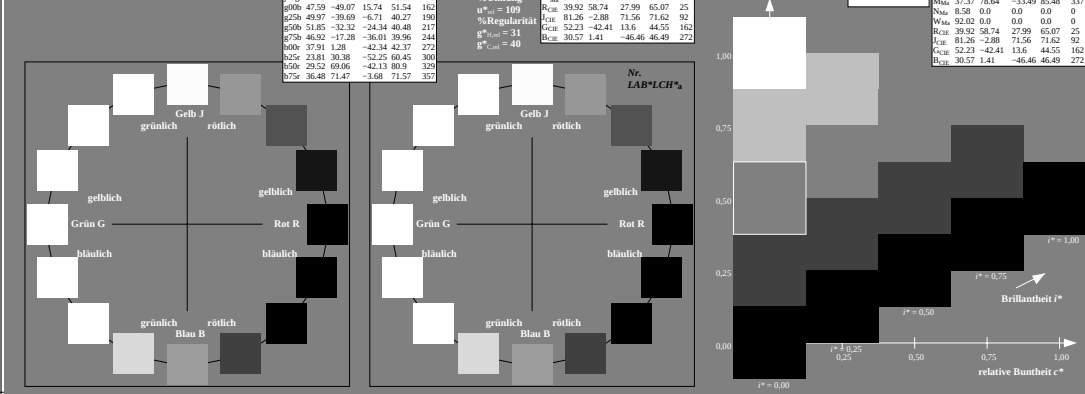

Daten für Maximalfarbe (Ma):
*LAB*LAB**$_{Ma}$: 35 63 30
*LAB*LCH**$_{Ma}$: 35 70 25
*lab*rgb**$_{Ma}$: 1.0 0.0 0.0
*lab*olv**$_{Ma}$: 1.0 0.0 0.18

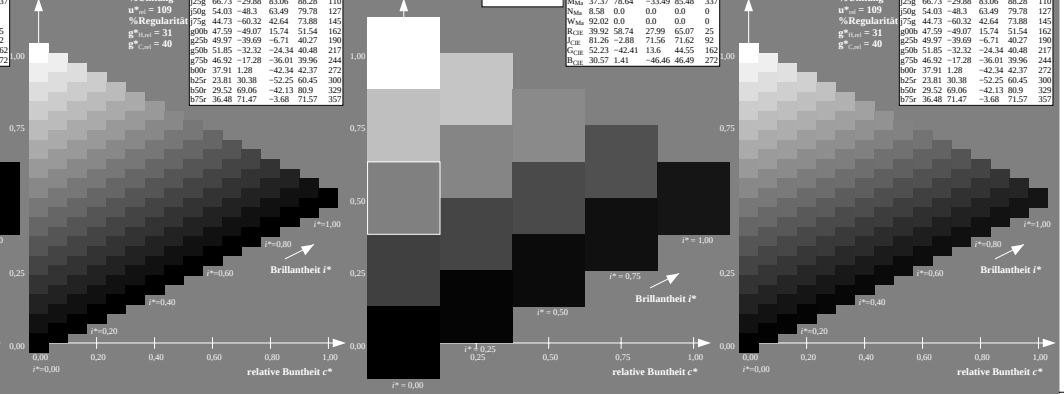

Ein und Ausgabe: Farbmetrisches Drucker-Reflektiv-System FRS09_92aM für relativen CIELAB-Buntton $h^* = lab^*h^* = h_{ab}/360 = 42/360 = 0.117$
Daten für jede Farbe: *lab*tch** **und** *lab*icu**
Elementar-Bunttontext: $u^* = r25j$
Kontrastreduzierungsfaktor: $c_R = 1.0$
Dreiecks-Helligkeit t^*

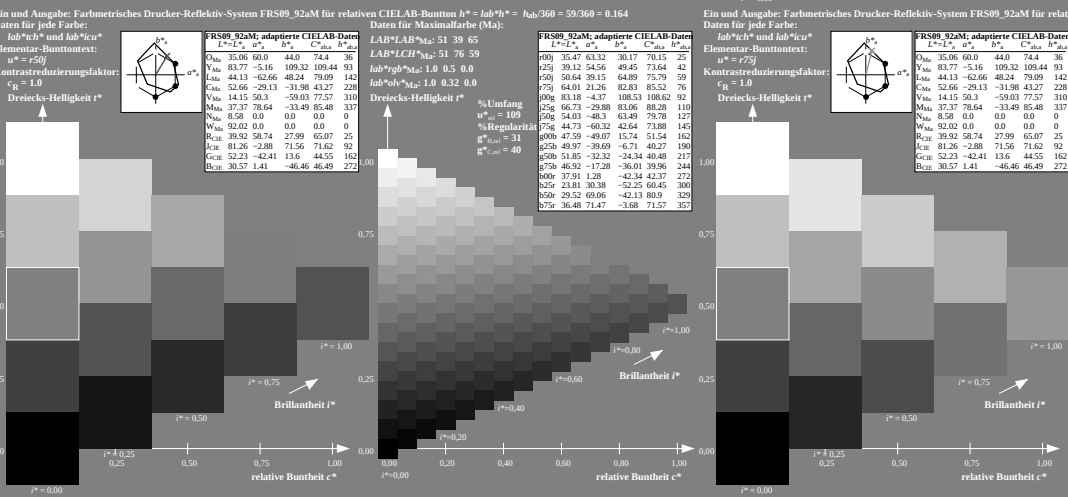

Daten für Maximalfarbe (Ma):
*LAB*LAB**$_{Ma}$: 39 55 49
*LAB*LCH**$_{Ma}$: 39 74 42
*lab*rgb**$_{Ma}$: 1.0 0.25 0.0
*lab*olv**$_{Ma}$: 1.0 0.08 0.0

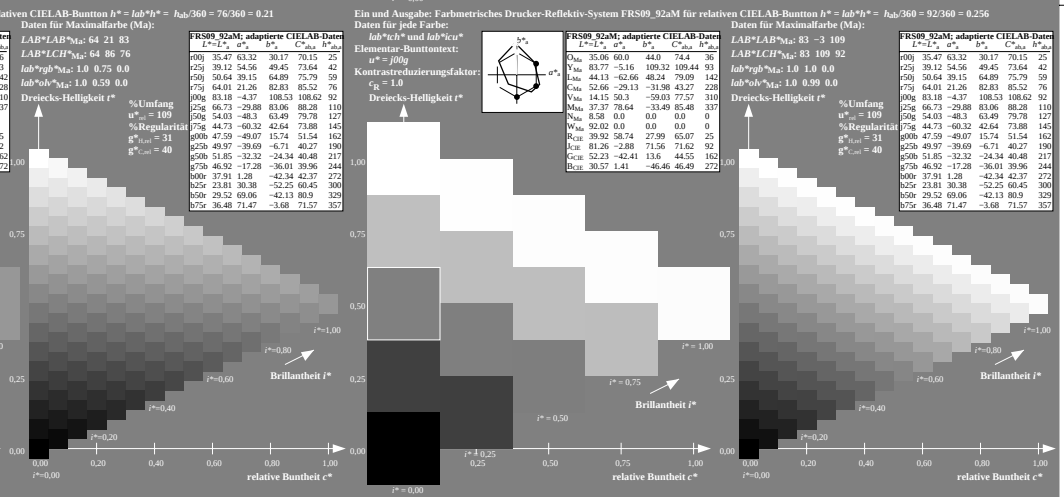

Ein und Ausgabe: Farbmetrisches Drucker-Reflektiv-System FRS09_92aM für relativen CIELAB-Buntton $h^* = lab^*h^* = h_{ab}/360 = 59/360 = 0.164$
Daten für jede Farbe: *lab*tch** **und** *lab*icu**
Elementar-Bunttontext: $u^* = r50j$
Kontrastreduzierungsfaktor: $c_R = 1.0$
Dreiecks-Helligkeit t^*

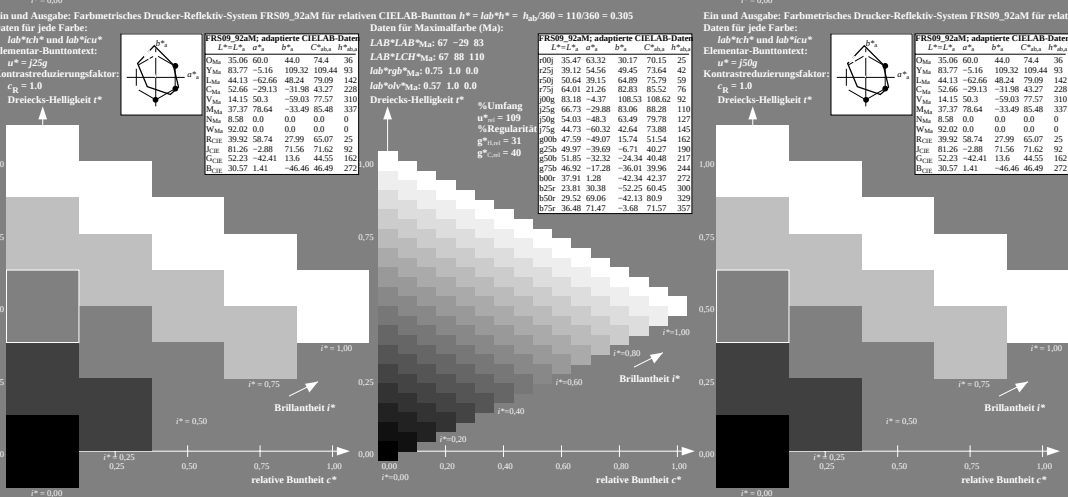

Daten für Maximalfarbe (Ma):
*LAB*LAB**$_{Ma}$: 51 39 65
*LAB*LCH**$_{Ma}$: 51 76 59
*lab*rgb**$_{Ma}$: 1.0 0.5 0.0
*lab*olv**$_{Ma}$: 1.0 0.32 0.0

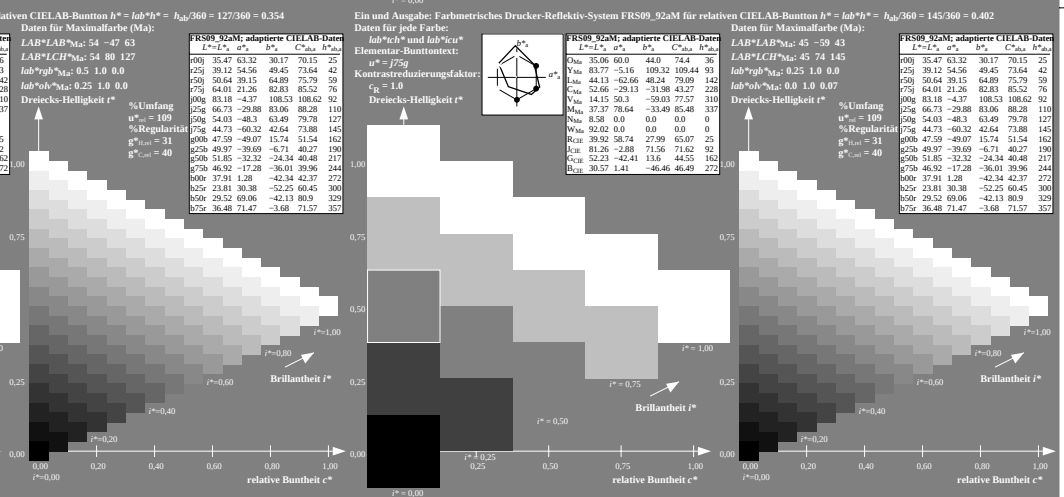

Ein und Ausgabe: Farbmetrisches Drucker-Reflektiv-System FRS09_92aM für relativen CIELAB-Buntton $h^* = lab^*h^* = h_{ab}/360 = 76/360 = 0.21$
Daten für jede Farbe: *lab*tch** **und** *lab*icu**
Elementar-Bunttontext: $u^* = r75j$
Kontrastreduzierungsfaktor: $c_R = 1.0$
Dreiecks-Helligkeit t^*

Daten für Maximalfarbe (Ma):
*LAB*LAB**$_{Ma}$: 64 21 83
*LAB*LCH**$_{Ma}$: 64 86 76
*lab*rgb**$_{Ma}$: 1.0 0.75 0.0
*lab*olv**$_{Ma}$: 1.0 0.59 0.0

Ein und Ausgabe: Farbmetrisches Drucker-Reflektiv-System FRS09_92aM für relativen CIELAB-Buntton $h^* = lab^*h^* = h_{ab}/360 = 92/360 = 0.256$
Daten für jede Farbe: *lab*tch** **und** *lab*icu**
Elementar-Bunttontext: $u^* = j00g$
Kontrastreduzierungsfaktor: $c_R = 1.0$
Dreiecks-Helligkeit t^*

Daten für Maximalfarbe (Ma):
*LAB*LAB**$_{Ma}$: 83 −3 109
*LAB*LCH**$_{Ma}$: 83 109 92
*lab*rgb**$_{Ma}$: 1.0 1.0 0.0
*lab*olv**$_{Ma}$: 1.0 0.99 0.0

Ein und Ausgabe: Farbmetrisches Drucker-Reflektiv-System FRS09_92aM für relativen CIELAB-Buntton $h^* = lab^*h^* = h_{ab}/360 = 110/360 = 0.305$
Daten für jede Farbe: *lab*tch** **und** *lab*icu**
Elementar-Bunttontext: $u^* = j25g$
Kontrastreduzierungsfaktor: $c_R = 1.0$
Dreiecks-Helligkeit t^*

Daten für Maximalfarbe (Ma):
*LAB*LAB**$_{Ma}$: 67 −29 83
*LAB*LCH**$_{Ma}$: 67 88 110
*lab*rgb**$_{Ma}$: 0.75 1.0 0.0
*lab*olv**$_{Ma}$: 0.57 1.0 0.0

Ein und Ausgabe: Farbmetrisches Drucker-Reflektiv-System FRS09_92aM für relativen CIELAB-Buntton $h^* = lab^*h^* = h_{ab}/360 = 127/360 = 0.354$
Daten für jede Farbe: *lab*tch** **und** *lab*icu**
Elementar-Bunttontext: $u^* = j50g$
Kontrastreduzierungsfaktor: $c_R = 1.0$
Dreiecks-Helligkeit t^*

Daten für Maximalfarbe (Ma):
*LAB*LAB**$_{Ma}$: 54 −47 63
*LAB*LCH**$_{Ma}$: 54 80 127
*lab*rgb**$_{Ma}$: 0.5 1.0 0.0
*lab*olv**$_{Ma}$: 0.25 1.0 0.0

Ein und Ausgabe: Farbmetrisches Drucker-Reflektiv-System FRS09_92aM für relativen CIELAB-Buntton $h^* = lab^*h^* = h_{ab}/360 = 145/360 = 0.402$
Daten für jede Farbe: *lab*tch** **und** *lab*icu**
Elementar-Bunttontext: $u^* = j75g$
Kontrastreduzierungsfaktor: $c_R = 1.0$
Dreiecks-Helligkeit t^*

Daten für Maximalfarbe (Ma):
*LAB*LAB**$_{Ma}$: 45 −59 43
*LAB*LCH**$_{Ma}$: 45 74 145
*lab*rgb**$_{Ma}$: 0.25 1.0 0.0
*lab*olv**$_{Ma}$: 0.0 1.0 0.07

Ein und Ausgabe: Farbmetrisches Drucker-Reflektiv-System FRS09_92aM
Daten für jede Farbe:
lab**tch **und** ***lab**icu***
Elementar-Bunttontext:
u* = 16 Bunttöne r00j, r25j, ..., b75r
Kontrastreduzierungsfaktor:
c_R **= 1.0**

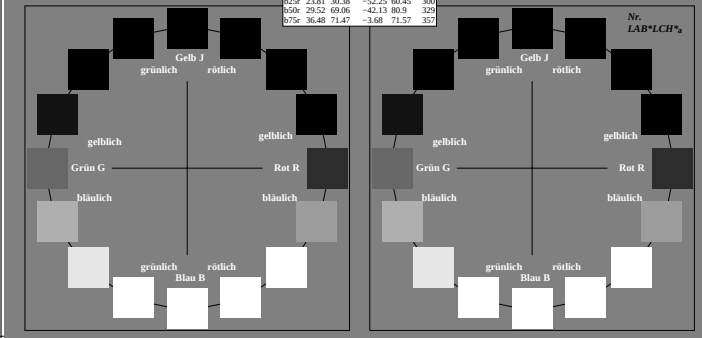

FRS09_92aM; adaptierte CIELAB-Daten

$L^*=L^*_a$	a^*_a	b^*_a	$C^*_{ab,a}$	$h^*_{ab,a}$
r00j 35.47	63.32	30.17	70.15	25
r25j 39.12	54.56	49.45	73.64	42
r50j 50.64	39.15	64.89	75.79	59
r75j 64.01	21.26	82.83	85.52	76
j00g 83.18	−4.37	108.53	108.62	92
j25g 66.73	−29.88	83.06	88.28	110
j50g 54.03	−48.3	63.49	79.78	127
j75g 44.73	−60.32	42.64	73.88	145
g00b 47.59	−49.07	15.74	51.54	162
g25b 49.97	−39.69	−6.71	40.27	190
g50b 51.85	−32.32	−24.34	40.48	217
g75b 46.92	−17.28	−36.01	39.96	244
b00r 37.91	1.28	−42.34	42.37	272
b25r 23.81	30.38	−52.25	60.45	300
b50r 29.52	69.06	−42.13	80.9	329
b75r 36.48	71.47	−3.68	71.57	357

FRS09_92aM; adaptierte CIELAB-Daten

$L^*=L^*_a$	a^*_a	b^*_a	$C^*_{ab,a}$	$h^*_{ab,a}$
O_{Ma} 35.06	60.0	44.0	74.4	36
Y_{Ma} 83.77	−5.16	109.32	109.44	93
L_{Ma} 44.13	−62.66	48.24	79.09	142
C_{Ma} 52.66	−29.13	−31.98	43.27	228
V_{Ma} 14.15	50.3	−59.03	77.57	310
M_{Ma} 37.37	78.64	−33.49	85.48	337
N_{Ma} 8.58	0.0	0.0	0.0	0
W_{Ma} 92.02	0.0	0.0	0.0	0
R_{CIE} 39.92	58.74	27.99	65.07	25
J_{CIE} 81.26	−2.88	71.56	71.62	92
G_{CIE} 52.23	−42.41	13.6	44.55	162
B_{CIE} 30.57	1.41	−46.46	46.49	272

%Umfang
u^*_{rel} **= 109**
%Regularität
$g^*_{H,rel}$ **= 31**
$g^*_{C,rel}$ **= 40**

Ein und Ausgabe: Farbmetrisches Drucker-Reflektiv-System FRS09_92aM für relativen CIELAB-Buntton $h^* = lab^*h^* = h_{ab}/360 = 25/360 = 0.071$
Daten für jede Farbe:
lab**tch **und** ***lab**icu***
u* = r00j
Elementar-Bunttontext:
Kontrastreduzierungsfaktor:
c_R **= 1.0**
Dreiecks-Helligkeit t^*

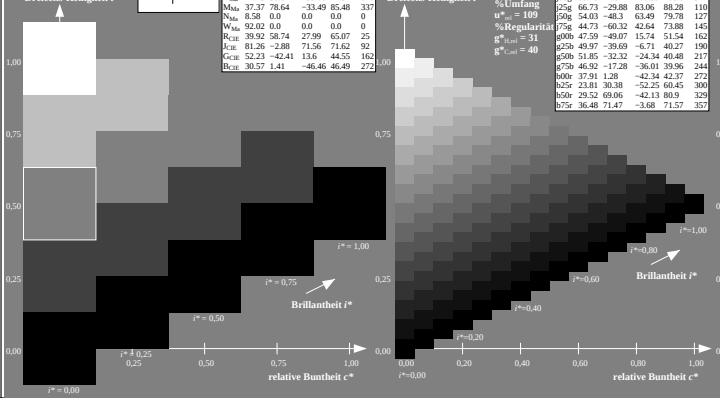

Daten für Maximalfarbe (Ma):
***LAB*LAB**Ma*: 35 63 30**
***LAB*LCH**Ma*: 35 70 25**
***lab**rgb**Ma*: 1.0 0.0 0.0**
***lab**olv**Ma*: 1.0 0.0 0.18**

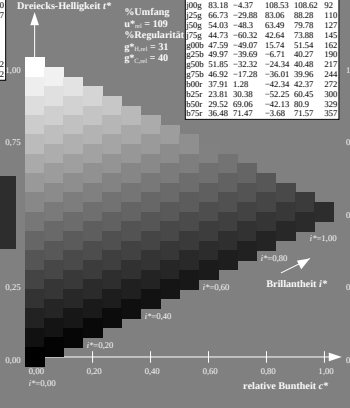

FRS09_92aM; adaptierte CIELAB-Daten

$L^*=L^*_a$	a^*_a	b^*_a	$C^*_{ab,a}$	$h^*_{ab,a}$
O_{Ma} 35.06	60.0	44.0	74.4	36
Y_{Ma} 83.77	−5.16	109.32	109.44	93
L_{Ma} 44.13	−62.66	48.24	79.09	142
C_{Ma} 52.66	−29.13	−31.98	43.27	228
V_{Ma} 14.15	50.3	−59.03	77.57	310
M_{Ma} 37.37	78.64	−33.49	85.48	337
N_{Ma} 8.58	0.0	0.0	0.0	0
W_{Ma} 92.02	0.0	0.0	0.0	0
R_{CIE} 39.92	58.74	27.99	65.07	25
J_{CIE} 81.26	−2.88	71.56	71.62	92
G_{CIE} 52.23	−42.41	13.6	44.55	162
B_{CIE} 30.57	1.41	−46.46	46.49	272

%Umfang
u^*_{rel} **= 109**
%Regularität
$g^*_{H,rel}$ **= 31**
$g^*_{C,rel}$ **= 40**

Ein und Ausgabe: Farbmetrisches Drucker-Reflektiv-System FRS09_92aM für relativen CIELAB-Buntton $h^* = lab^*h^* = h_{ab}/360 = 42/360 = 0.117$
Daten für jede Farbe:
lab**tch **und** ***lab**icu***
u* = r25j
Elementar-Bunttontext:
Kontrastreduzierungsfaktor:
c_R **= 1.0**
Dreiecks-Helligkeit t^*

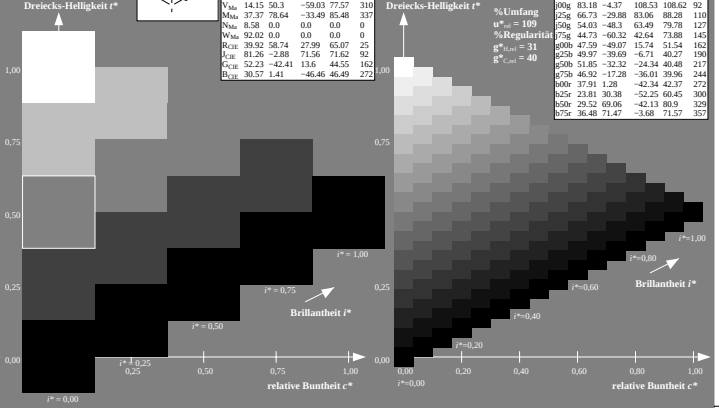

Daten für Maximalfarbe (Ma):
***LAB*LAB**Ma*: 39 55 49**
***LAB*LCH**Ma*: 39 74 42**
***lab**rgb**Ma*: 1.0 0.25 0.0**
***lab**olv**Ma*: 1.0 0.08 0.0**

FRS09_92aM; adaptierte CIELAB-Daten

$L^*=L^*_a$	a^*_a	b^*_a	$C^*_{ab,a}$	$h^*_{ab,a}$
O_{Ma} 35.06	60.0	44.0	74.4	36
Y_{Ma} 83.77	−5.16	109.32	109.44	93
L_{Ma} 44.13	−62.66	48.24	79.09	142
C_{Ma} 52.66	−29.13	−31.98	43.27	228
V_{Ma} 14.15	50.3	−59.03	77.57	310
M_{Ma} 37.37	78.64	−33.49	85.48	337
N_{Ma} 8.58	0.0	0.0	0.0	0
W_{Ma} 92.02	0.0	0.0	0.0	0
R_{CIE} 39.92	58.74	27.99	65.07	25
J_{CIE} 81.26	−2.88	71.56	71.62	92
G_{CIE} 52.23	−42.41	13.6	44.55	162
B_{CIE} 30.57	1.41	−46.46	46.49	272

%Umfang
u^*_{rel} **= 109**
%Regularität
$g^*_{H,rel}$ **= 31**
$g^*_{C,rel}$ **= 40**

Ein und Ausgabe: Farbmetrisches Drucker-Reflektiv-System FRS09_92aM für relativen CIELAB-Buntton $h^* = lab^*h^* = h_{ab}/360 = 59/360 = 0.164$
Daten für jede Farbe:
lab**tch **und** ***lab**icu***
u* = r50j
Elementar-Bunttontext:
Kontrastreduzierungsfaktor:
c_R **= 1.0**
Dreiecks-Helligkeit t^*

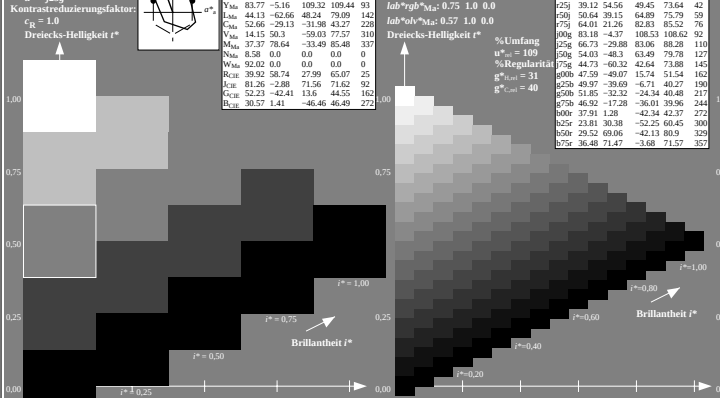

Daten für Maximalfarbe (Ma):
***LAB*LAB**Ma*: 51 39 65**
***LAB*LCH**Ma*: 51 76 59**
***lab**rgb**Ma*: 1.0 0.5 0.0**
***lab**olv**Ma*: 1.0 0.32 0.0**

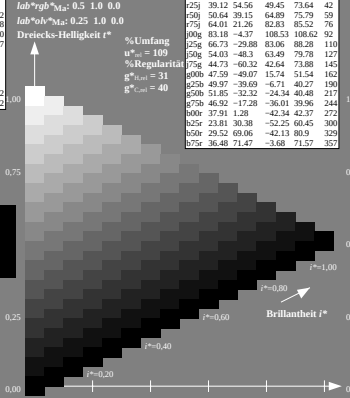

FRS09_92aM; adaptierte CIELAB-Daten

$L^*=L^*_a$	a^*_a	b^*_a	$C^*_{ab,a}$	$h^*_{ab,a}$
O_{Ma} 35.06	60.0	44.0	74.4	36
Y_{Ma} 83.77	−5.16	109.32	109.44	93
L_{Ma} 44.13	−62.66	48.24	79.09	142
C_{Ma} 52.66	−29.13	−31.98	43.27	228
V_{Ma} 14.15	50.3	−59.03	77.57	310
M_{Ma} 37.37	78.64	−33.49	85.48	337
N_{Ma} 8.58	0.0	0.0	0.0	0
W_{Ma} 92.02	0.0	0.0	0.0	0
R_{CIE} 39.92	58.74	27.99	65.07	25
J_{CIE} 81.26	−2.88	71.56	71.62	92
G_{CIE} 52.23	−42.41	13.6	44.55	162
B_{CIE} 30.57	1.41	−46.46	46.49	272

%Umfang
u^*_{rel} **= 109**
%Regularität
$g^*_{H,rel}$ **= 31**
$g^*_{C,rel}$ **= 40**

Ein und Ausgabe: Farbmetrisches Drucker-Reflektiv-System FRS09_92aM für relativen CIELAB-Buntton $h^* = lab^*h^* = h_{ab}/360 = 76/360 = 0.21$
Daten für jede Farbe:
lab**tch **und** ***lab**icu***
u* = r75j
Elementar-Bunttontext:
Kontrastreduzierungsfaktor:
c_R **= 1.0**
Dreiecks-Helligkeit t^*

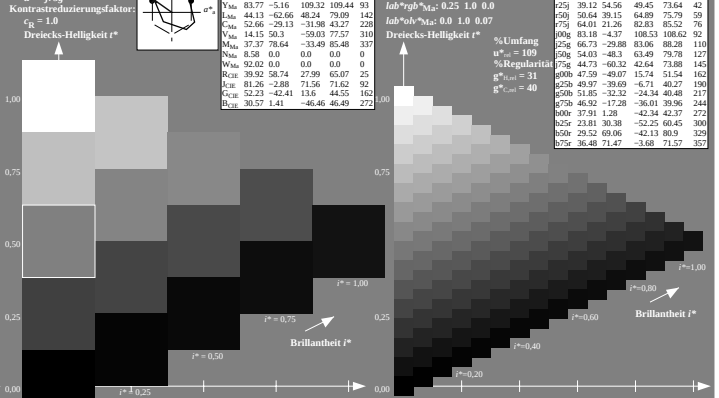

Daten für Maximalfarbe (Ma):
***LAB*LAB**Ma*: 64 21 83**
***LAB*LCH**Ma*: 64 86 76**
***lab**rgb**Ma*: 1.0 0.75 0.0**
***lab**olv**Ma*: 1.0 0.59 0.0**

FRS09_92aM; adaptierte CIELAB-Daten

$L^*=L^*_a$	a^*_a	b^*_a	$C^*_{ab,a}$	$h^*_{ab,a}$
O_{Ma} 35.06	60.0	44.0	74.4	36
Y_{Ma} 83.77	−5.16	109.32	109.44	93
L_{Ma} 44.13	−62.66	48.24	79.09	142
C_{Ma} 52.66	−29.13	−31.98	43.27	228
V_{Ma} 14.15	50.3	−59.03	77.57	310
M_{Ma} 37.37	78.64	−33.49	85.48	337
N_{Ma} 8.58	0.0	0.0	0.0	0
W_{Ma} 92.02	0.0	0.0	0.0	0
R_{CIE} 39.92	58.74	27.99	65.07	25
J_{CIE} 81.26	−2.88	71.56	71.62	92
G_{CIE} 52.23	−42.41	13.6	44.55	162
B_{CIE} 30.57	1.41	−46.46	46.49	272

%Umfang
u^*_{rel} **= 109**
%Regularität
$g^*_{H,rel}$ **= 31**
$g^*_{C,rel}$ **= 40**

Ein und Ausgabe: Farbmetrisches Drucker-Reflektiv-System FRS09_92aM für relativen CIELAB-Buntton $h^* = lab^*h^* = h_{ab}/360 = 92/360 = 0.256$
Daten für jede Farbe:
lab**tch **und** ***lab**icu***
u* = j00g
Elementar-Bunttontext:
Kontrastreduzierungsfaktor:
c_R **= 1.0**
Dreiecks-Helligkeit t^*

Daten für Maximalfarbe (Ma):
***LAB*LAB**Ma*: 83 −3 109**
***LAB*LCH**Ma*: 83 109 92**
***lab**rgb**Ma*: 1.0 1.0 0.0**
***lab**olv**Ma*: 1.0 0.99 0.0**

FRS09_92aM; adaptierte CIELAB-Daten

$L^*=L^*_a$	a^*_a	b^*_a	$C^*_{ab,a}$	$h^*_{ab,a}$
O_{Ma} 35.06	60.0	44.0	74.4	36
Y_{Ma} 83.77	−5.16	109.32	109.44	93
L_{Ma} 44.13	−62.66	48.24	79.09	142
C_{Ma} 52.66	−29.13	−31.98	43.27	228
V_{Ma} 14.15	50.3	−59.03	77.57	310
M_{Ma} 37.37	78.64	−33.49	85.48	337
N_{Ma} 8.58	0.0	0.0	0.0	0
W_{Ma} 92.02	0.0	0.0	0.0	0
R_{CIE} 39.92	58.74	27.99	65.07	25
J_{CIE} 81.26	−2.88	71.56	71.62	92
G_{CIE} 52.23	−42.41	13.6	44.55	162
B_{CIE} 30.57	1.41	−46.46	46.49	272

%Umfang
u^*_{rel} **= 109**
%Regularität
$g^*_{H,rel}$ **= 31**
$g^*_{C,rel}$ **= 40**

Ein und Ausgabe: Farbmetrisches Drucker-Reflektiv-System FRS09_92aM für relativen CIELAB-Buntton $h^* = lab^*h^* = h_{ab}/360 = 110/360 = 0.305$
Daten für jede Farbe:
lab**tch **und** ***lab**icu***
u* = j25g
Elementar-Bunttontext:
Kontrastreduzierungsfaktor:
c_R **= 1.0**
Dreiecks-Helligkeit t^*

Daten für Maximalfarbe (Ma):
***LAB*LAB**Ma*: 67 −29 83**
***LAB*LCH**Ma*: 67 88 110**
***lab**rgb**Ma*: 0.75 1.0 0.0**
***lab**olv**Ma*: 0.57 1.0 0.0**

FRS09_92aM; adaptierte CIELAB-Daten

$L^*=L^*_a$	a^*_a	b^*_a	$C^*_{ab,a}$	$h^*_{ab,a}$
O_{Ma} 35.06	60.0	44.0	74.4	36
Y_{Ma} 83.77	−5.16	109.32	109.44	93
L_{Ma} 44.13	−62.66	48.24	79.09	142
C_{Ma} 52.66	−29.13	−31.98	43.27	228
V_{Ma} 14.15	50.3	−59.03	77.57	310
M_{Ma} 37.37	78.64	−33.49	85.48	337
N_{Ma} 8.58	0.0	0.0	0.0	0
W_{Ma} 92.02	0.0	0.0	0.0	0
R_{CIE} 39.92	58.74	27.99	65.07	25
J_{CIE} 81.26	−2.88	71.56	71.62	92
G_{CIE} 52.23	−42.41	13.6	44.55	162
B_{CIE} 30.57	1.41	−46.46	46.49	272

%Umfang
u^*_{rel} **= 109**
%Regularität
$g^*_{H,rel}$ **= 31**
$g^*_{C,rel}$ **= 40**

Ein und Ausgabe: Farbmetrisches Drucker-Reflektiv-System FRS09_92aM für relativen CIELAB-Buntton $h^* = lab^*h^* = h_{ab}/360 = 127/360 = 0.354$
Daten für jede Farbe:
lab**tch **und** ***lab**icu***
u* = j50g
Elementar-Bunttontext:
Kontrastreduzierungsfaktor:
c_R **= 1.0**
Dreiecks-Helligkeit t^*

Daten für Maximalfarbe (Ma):
***LAB*LAB**Ma*: 54 −47 63**
***LAB*LCH**Ma*: 54 80 127**
***lab**rgb**Ma*: 0.5 1.0 0.0**
***lab**olv**Ma*: 0.25 1.0 0.0**

FRS09_92aM; adaptierte CIELAB-Daten

$L^*=L^*_a$	a^*_a	b^*_a	$C^*_{ab,a}$	$h^*_{ab,a}$
O_{Ma} 35.06	60.0	44.0	74.4	36
Y_{Ma} 83.77	−5.16	109.32	109.44	93
L_{Ma} 44.13	−62.66	48.24	79.09	142
C_{Ma} 52.66	−29.13	−31.98	43.27	228
V_{Ma} 14.15	50.3	−59.03	77.57	310
M_{Ma} 37.37	78.64	−33.49	85.48	337
N_{Ma} 8.58	0.0	0.0	0.0	0
W_{Ma} 92.02	0.0	0.0	0.0	0
R_{CIE} 39.92	58.74	27.99	65.07	25
J_{CIE} 81.26	−2.88	71.56	71.62	92
G_{CIE} 52.23	−42.41	13.6	44.55	162
B_{CIE} 30.57	1.41	−46.46	46.49	272

%Umfang
u^*_{rel} **= 109**
%Regularität
$g^*_{H,rel}$ **= 31**
$g^*_{C,rel}$ **= 40**

Ein und Ausgabe: Farbmetrisches Drucker-Reflektiv-System FRS09_92aM für relativen CIELAB-Buntton $h^* = lab^*h^* = h_{ab}/360 = 145/360 = 0.402$
Daten für jede Farbe:
lab**tch **und** ***lab**icu***
u* = j75g
Elementar-Bunttontext:
Kontrastreduzierungsfaktor:
c_R **= 1.0**
Dreiecks-Helligkeit t^*

Daten für Maximalfarbe (Ma):
***LAB*LAB**Ma*: 45 −59 43**
***LAB*LCH**Ma*: 45 74 145**
***lab**rgb**Ma*: 0.25 1.0 0.0**
***lab**olv**Ma*: 0.0 1.0 0.07**

FRS09_92aM; adaptierte CIELAB-Daten

$L^*=L^*_a$	a^*_a	b^*_a	$C^*_{ab,a}$	$h^*_{ab,a}$
O_{Ma} 35.06	60.0	44.0	74.4	36
Y_{Ma} 83.77	−5.16	109.32	109.44	93
L_{Ma} 44.13	−62.66	48.24	79.09	142
C_{Ma} 52.66	−29.13	−31.98	43.27	228
V_{Ma} 14.15	50.3	−59.03	77.57	310
M_{Ma} 37.37	78.64	−33.49	85.48	337
N_{Ma} 8.58	0.0	0.0	0.0	0
W_{Ma} 92.02	0.0	0.0	0.0	0
R_{CIE} 39.92	58.74	27.99	65.07	25
J_{CIE} 81.26	−2.88	71.56	71.62	92
G_{CIE} 52.23	−42.41	13.6	44.55	162
B_{CIE} 30.57	1.41	−46.46	46.49	272

%Umfang
u^*_{rel} **= 109**
%Regularität
$g^*_{H,rel}$ **= 31**
$g^*_{C,rel}$ **= 40**